

## Re-188이 표지된 황 교질(Sulfur Colloid)/리피오돌(Lipiodol)의 제조와 생체내 분포

서울대학교 의과대학 핵의학교실, 국립 암센터 핵의학과<sup>1</sup>, 동아제약(주) 연구소<sup>2</sup>,  
김영주, 정재민, 김석기<sup>1</sup>, 손미원<sup>2</sup>, 이동수, 정준기, 이명철

### Preparation and Biodistribution of Re-188-Sulfur Colloid Suspension in Lipiodol

**Young Ju Kim, B.S., Jae Min Jeong, Ph.D., Seok Ki Kim<sup>1</sup>, M.D., Miwon Son<sup>2</sup>, Ph.D., Dong Soo Lee, M.D., June-Key Chung, M.D., Myung Chul Lee, M.D.**

*Department of Nuclear Medicine, Seoul National University College of Medicine, Seoul, Korea; Department of Nuclear Medicine, National Cancer Center, Korea<sup>1</sup>, Research Laboratories, Dong-A Pharm. Co., Ltd.<sup>2</sup>, Seoul, Korea*

#### Abstract

**Purpose:** Lipiodol is used for targeting liver cancers by administrating through the hepatic artery. In the present study, feasibility of Re-188-sulfur colloid suspension in lipiodol as a liver cancer targeting agent was investigated. **Materials and Methods:** Re-188-sulfur colloid was prepared, harvested by centrifugation, washed with organic solvent and then suspended into lipiodol. Biodistribution of Re-188-sulfur colloid in normal saline and its suspension in lipiodol in mice after 1 hr of injection through the tail vein were investigated. Biodistribution and autoradiography of tumor-bearing liver was acquired after 5 min post-injection into left ventricle of the tumor-inoculated rats. **Results:** After 1 hr of injection with Re-188-sulfur colloid suspension in lipiodol through the tail vein in normal mice ( $n=3$ ), the uptakes in the liver and lung were  $5.2 \pm 0.7$  and  $91.0 \pm 1.7\%$  ID/organ, respectively. After 5 min of injection with Re-188-sulfur colloid suspension in lipiodol through the left ventricle in the tumor-inoculated rats ( $n=4$ ), uptakes in the normal liver, hepatoma, and lung were  $0.41 \pm 0.28$ ,  $1.88 \pm 1.57$ , and  $1.65 \pm 1.54\%$  ID/organ, respectively. And autoradiography of hepatoma showed increased uptake than normal liver tissues. **Conclusion:** Re-188-sulfur colloid suspension in lipiodol injected through the artery shows higher uptake in the hepatoma than normal liver tissue that indicates the feasibility as a new radiopharmaceutical for therapy of hepatoma.

**Key Words:** Re-188-Sulfur Colloid, Lipiodol, Hepatoma, Biodistribution

#### 서 론

Received July 14, 2003; Accepted July 14, 2003

Corresponding author: Jae Min Jeong

Department of Nuclear Medicine,  
Seoul National University Hospital, 28 Yunkun-Dong,  
Chongno-Ku, Seoul 110-744, Korea  
Tel: (02) 760-3805, Fax: (02) 745-7690  
E-mail: jmjng@snu.ac.kr

간암은 보편적인 악성 종양 중 하나로 알려져 있으며, 초기에는 외과적 간엽절제술이 가장 이상적이라고 하겠으나 실제로는 조기 발견이 되지 않아 간 경화증이 동반되거나 진행되는 경우가 많아 예후가 나쁘다. 그 밖에 다른 치료방법으로는 항암제 전신

특히, 색전형성제제(embolic agent)인 리피오돌(lipiodol) 또는 젤 폼(gel foam) 등을 간 동맥으로 투여하거나, 간암 부위에 직접 알콜을 주사하는 방법들이 사용되고 있다.<sup>3,4)</sup> 간암 조직은 혈액의 대부분을 간 동맥으로부터 공급받는다. 반면에 정상 간 조직은 문맥으로부터 대부분의 혈액을 공급받는다. 색전형성제제를 간 동맥으로 투여하면 대부분이 간암에 도달하여 진단과 치료에 이용되고 있다. 리피오돌은 양귀비의 씨에서 나오는 오일에 오오드(전체 무게의 38%)가 첨가된 에스테르 화합물로서 X-선 조영제로 많이 사용되고 있다. 리피오돌은 지용성과 점성을 가지고 있어서 간암을 진단하는 색전형성제제로 사용되며, 항암제와 섞어서 간암을 치료하는데 사용되고 있다.<sup>5)</sup>

방사성 동위원소인 I-131이 표지된 리피오돌이 간암을 치료하기 위하여 사용되었다.<sup>6~10)</sup> 그러나 I-131은 낮은 에너지의 베타선( $E\beta$ -max=0.61 MeV)과 높은 에너지의 감마선( $E\gamma$ =364 keV, 81%)을 방출한다. 그래서 Y-90이 표지된 리피오돌의 제조 방법과 간암 치료제로서의 가능성이 보고되었다.<sup>11,12,17)</sup> Y-90은 I-131 보다 치료에 적당한 짧은 반감기(2.67 일)와 베타선( $E\beta$ -max=2.28 MeV)을 방출하고, 조직 투과력(최대 12 mm)이 좋은 장점을 가지고 있다. 그러나 Y-90은 골격계에 섭취되어 골수(bone marrow)에 손상을 주기 때문에 임상에 적용하기에는 부적절하다. Re-188은 Y-90과 비슷한 베타선( $E\beta$ -max=2.12 MeV)을 방출하고 조직 투과력(최대 11 mm)이 좋으며 영상화에 적당한 감마선( $E\gamma$ =155 keV(15%))을 방출한다. Re-188은 비교적 짧은 반감기(17 시간)를 가지고 있으며 W-188/Re-188 발생기로부터 무담체(carrier-free)로 쉽게 얻을 수 있다. Re-188이 표지된 리피오돌과 HDD/리피오돌 등이 간암치료제로서의 가능성이 보고되었다.<sup>1,2,13,18)</sup>

이 연구에서는 입자성 방사성의약품인 Re-188-황 교질을 리피오돌에 혼탁시켜 Re-188-황 교질/리피오돌을 제조한 후 간암이 있는 백서에서 간암치료제로서의 가능성을 확인하였다.

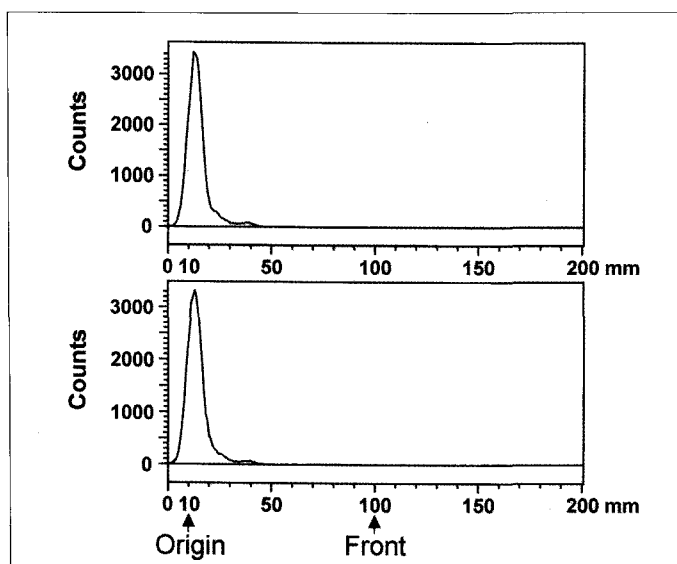
## 대상 및 방법

### 1. Re-188-황 교질/리피오돌의 제조

Re-188-황 교질은 문헌에 보고된 방법으로 제조하였다.<sup>14~16)</sup> W-188/Re-188 발생기(Oak Ridge National Laboratory)에서 용출한 Re-188-파레늄산 148 MBq/1.5 mL을 냉동건조한 황 교질 키트(Sodium thiosulfate 40 mg, KReO<sub>4</sub> 0.8 mg, EDTA Na<sub>2</sub> · 2H<sub>2</sub>O 0.8 mg)에 넣은 후 1 N HCl을 사용하여 pH를 1로 맞추고 교반기(비전과학)를 사용하여 5 분간 강하게 혼합하였다. 끓는 항온조에서 1 시간 동안 반응시킨 후 다시 5 분간 교반기를 사용하여 강하게 교반하였다. 표지되지 않은 Re-188-파레늄산을 제거하기 위하여 Re-188 황 교질을 3,000 rpm에서 5 분간 원심분리(Hanil co.)하여 상층액을 제거하였다. 수분을 완전히 제거하기 위하여 아세톤 4 mL을 가하여 혼탁시킨 후 3,000 rpm에서 5 분간 원심분리하고 상층액을 제거하였다. 다시 에테르 4 mL을 가하여 혼탁시킨 후 3,000 rpm에서 5 분간 원심분리하고 상층액을 제거하였다. 남아 있는 미량의 용매는 고순도 질소를 사용하여 휘발시켰다. 여기에 리피오돌(Guerbet Co. France) 4 mL을 가한 후 초음파 분쇄기(Bransonic Co. USA)와 교반기를 사용하여 교반하였다. Re-188-황 교질과 Re-188-황 교질/리피오돌의 방사 화학적 순도를 확인하기 위하여 고정상으로 ITLC-SG(Gelman)와 이동상으로 생리식 염수를 사용하여 크로마토그래피를 시행하고 결과를 TLC 스캐너(Imaging Scanner System 200)로 판독하였다.

### 2. 간암 백서 모델

마취제인 ketamine hydrochloride (유한양행, 57.6 mg/mL)와 Xylazine hydrochloride (바이엘코리아, 23.3 mg/mL)를 2/1(v/v)로 섞은 후 정상 백서(수컷, 300g)의 몸무게 100g 당 대략 0.1 mL을 복강내에 주사하여 마취시켰다. 백서의 간이 위치한 부위의 피부를 약 2cm정도 절개하여 간엽을 노출시켰다. 노출된 간엽에 간암세포(N1-S1, 4×10<sup>6</sup> cell) 0.1 mL을 직접 주사하고 면봉을 사용하여 자혈시킨 후



**Fig. 1.** Chromatography of the Re-188-sulfur colloid(A) and Re-188-sulfur colloid suspension in lipiodol(B). Chromatography was performed on  $1 \times 10$  cm media in a TLC chamber. The samples were spotted 1 cm from the bottom and eluted up to 1 cm from the top. The radioactivity distribution on the media was detected by a TLC-scanner.

피부를 봉합하였다. 간암세포를 이식한 백서는 약 2 주간 키운 후 마취한 후 피부를 절개하여 간암 생성 유무를 확인한 후 실험을 진행시켰다.

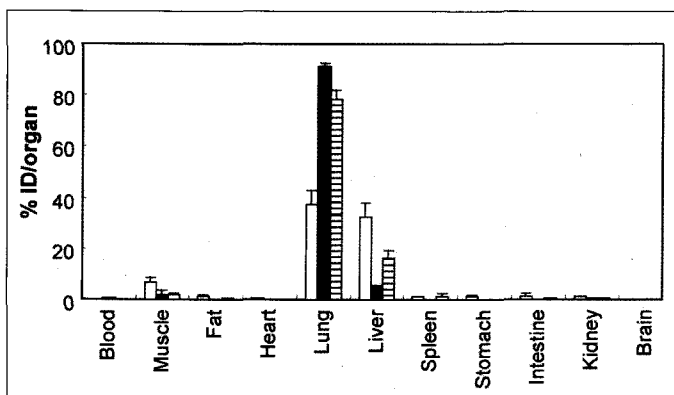
### 3. 생체내 분포

Re-188-황 교질 7.4 kBq/ 0.1 mL을 마우스(ICR, 수컷,  $22.2 \pm 3.2$  g, n=4)의 꼬리정맥에 주사하였다. 1 시간 후 장기(혈액, 근육, 지방, 심장, 폐, 간, 비장, 위, 장, 신장, 뇌)를 적출하여 무게를 측정하고, 각각의 장기에 대한 방사능( $135\sim188$  keV)을 감마 카운터(Packard)를 사용하여 측정한 후 각 장기의 단위 장기당 섭취율(percent injected dose/organ, % ID/organ)값을 계산하였다. Re-188-황 교질/리피오돌 37 kBq/ 0.03 mL을 마우스(ICR, 수컷,  $26.8 \pm 3.9$  g, n=7)의 꼬리정맥에 주사하였다. 1 시간(n=3)과 24 시간(n=4) 후 장기(혈액, 근육, 지방, 심장, 폐, 간, 비장, 위, 장, 신장, 뇌)를 적출하여 무게를 측정하고, 각각의 장기에 대한 방사능( $135\sim188$  keV)을 감마 카운터(Packard)를 사용하여 측정한 후 각 장

기의 단위 장기당 섭취율(percent injected dose/organ, % ID/organ)값을 계산하였다.

Re-188-황 교질/리피오돌 37~740 kBq/0.05~0.1 mL을 간암 백서(SD., 수컷,  $281 \pm 33$  g, n=4)의 심장에 좌심실로 주사하였다. 주사 후 5 분에 장기(혈액, 근육, 지방, 심장, 폐, 간, 비장, 위, 장, 신장, 뇌, 간암)를 적출하여 무게를 측정하고, 각각의 장기에 대한 방사능을 감마 카운터를 사용하여 측정한 후 각 장기의 단위무게당 섭취율(percent injected dose/gram, % ID/g)값을 계산하였다.

Re-188-황 교질/리피오돌 740 kBq/0.1 mL을 간암 백서(SD., 수컷, 290 g, n=1)의 심장에 좌심실로 주사하였다. 주사 후 5 분에 정상 간조직과 간암부위가 있는 조직을 적출하여 영하  $20^{\circ}\text{C}$ 에서 냉동절편기(LEICA CM1800)를 사용하여  $20\ \mu\text{m}$ 와  $7\ \mu\text{m}$  두께의 표본을 얻었다.  $20\ \mu\text{m}$  두께의 표본은 phospho-imaging plate에 노출시킨 후 BAS-2500 (Fuji co.)을 사용하여 자가방사사진(autoradiography)을 얻었다. 자가방사사진은 TINA2.1 (Raytest, straubengardt,



**Fig. 2.** Biodistribution of Re-188-sulfur colloid and Re-188-sulfur colloid suspension in lipiodol in mice. Mice were injected with 7.4 kBq/0.1 mL of Re-188-sulfur colloid or 37 kBq/0.03 mL of Re-188-sulfur colloid suspension in lipiodol via tail vein. The animals were sacrificed at 1 hr after injection with Re-188-sulfur colloid (□, n=4) or 1 hr (■, n=3) and 24 hrs (▨, n=4) after injection with Re-188-sulfur colloid suspension in lipiodol. Their organs were removed, weighed and measured for radioactivity. The data are presented as the percentage of the injected doses per organ (% ID/organ).

**Table 1.** Biodistribution of Re-188-Sulfur Colloid Suspension in Lipiodol after Injection through the Left Ventricle of Hetatoma Bearing Rats (% ID/g)

	5 min
Muscle	0.23±0.18
Fat	0.83±0.96
Heart	4.48±0.58
Lung	1.65±1.54
Liver	0.41±0.28
Spleen	0.17±0.16
Stomach	0.55±0.57
Intestine	0.95±0.82
Kidney	1.77±1.55
Bone	0.15±0.09
Hematoma	1.88±1.57

mean±S.D., n=4

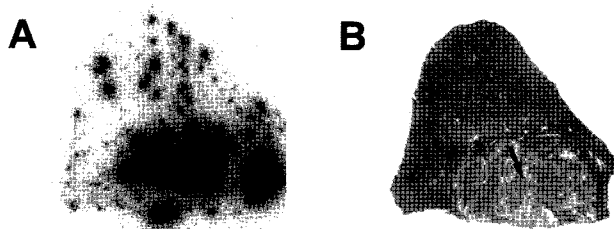
Germany) 프로그램을 이용하여 관심영역인 간암부위와 정상간조직의 단위면적당농도(PSL/mm<sup>2</sup>; Inte-

grated intensity per unit area of the region)를 계산하였다. 7 μm 두께의 표본은 H&E (Hematoxylin and eosin) 염색을 하였다.

## 결 과

Fig. 1은 Re-188-황 교질과 Re-188-황 교질/리피오돌의 TLC 결과이다. Re-188-황 교질과 Re-188-황 교질/리피오돌의 방사화학적 순도는 모두 99%이상임을 확인하였다.

Fig. 2은 Re-188-황 교질/리피오돌과 Re-188-황 교질의 마우스의 꼬리정맥으로 주사한 후 1, 24 시간에 생체내분포 결과이다. Re-188-황 교질/리피오돌을 마우스의 꼬리정맥으로 주사한 후 1시간에 간과 폐의 섭취율은 각각 5.2±0.7, 91.0±1.7(% ID/organ, n=3)이었고, 24시간에 간과 폐의 섭취율은 각각 16.4±3.0, 78.6±3.5(% ID/organ, n=4)였다. Re-188-황 교질/리피오돌의 1 시간에 폐에서의 섭취량(% ID/organ)은 Re-188-황 교질을 투여하였을 때 폐에서의 섭취량 37.30±5.36(% ID/organ)보다 많은 양이 섭취되었다. Re-188-황 교질/리피오돌이



**Fig. 3.** Autoradiography(A) and H&E staining(B) of rat hepatoma tissue.  $4 \times 10^6$  cell of N1-S1 was directly injected into the lobe of the liver in rat and then hepatoma was grown for 2 weeks. Rat was administrated with Re-188-sulfur colloid suspension in lipiodol through the left ventricle. After 5 mins, rat was sacrificed and the liver including hepatoma lesion was removed. The arrows indicate the hepatoma lesions.

**Table 2.** Quantification of Radioactivity from the Autoradiography of Rat Hepatoma after Injection of Re-188-Sulfur Colloid Suspension in Lipiodol though the Left Ventricle (% ID/g)

	PSL*	PSL/mm <sup>2</sup> †
Liver	6288.8	26.0
Hepatoma	39524.2	259.9
Hepatoma/Liver	6.3	10.0

\*:Integrated intensity of the region

† :Integrated intensity per unit area of the region

정맥 주사 후 24 시간에도 폐에 오랫동안 남아있었다(Fig. 2).

간암을 이식한 백서의 좌심실로 Re-188-황 교질/리피오돌을 주사한 후 5 분의 정상간의 섭취율은  $0.41 \pm 0.28$ , 간암  $1.88 \pm 1.57$ , 폐  $1.65 \pm 1.54$ (% ID/g, n=4)로서 정상간에 비하여 간암의 섭취가 더 높았다(Table 1).

간암을 이식한 백서에 Re-188-황 교질/리피오돌을 좌심실로 주사 후 간암과 정상간 조직의 자가방사사진에서 간암부위의 Re-188-황 교질/리피오돌의 섭취가 정상간 조직 보다 증가됨을 볼 수 있었다 (Fig. 3). Fig. 3의 간암을 이식한 백서의 자가방사사진에서 관심영역인 간암부위와 정상간 조직의 단위 면적당 섭취량(PSL/mm<sup>2</sup>)를 계산한 결과, 간암부위와 정상간 조직의 단위 면적 당 농도는 각각 259.9와 26.0이었고 간암과 정상간의 비는 10.0이었다

(Table 2).

## 고 칠

간암을 치료하기 위하여 리피오돌에 I-131, Y-90, Re-188등 베타선을 방출하는 치료용 동위원소가 표지된 방사성의약품들이 보고되었다.<sup>6~13)</sup> 이러한 치료용 동위원소 가운데 Re-188은 I-131과 Y-90에 비하여 우수한 물리, 화학적 특성을 갖는 치료용 동위원소로 여겨지고 있다.<sup>2)</sup> 치료용 동위원소에 리피오돌이 직접 표지된 방사성의약품을 제조하는 데에는 복잡한 과정과 많은 시간을 필요로 하는 단점이 있다. 이러한 단점을 해결하고자 하는 연구가 진행되고 있으며 그중 하나인 Re-188이 표지된 TDD나 HDD의 지용성 성질을 이용하여 리피오돌에 섞은 후 간암이 있는 백서에서의 간암 치료제로서의 가

능성이 있음이 보고되었다.<sup>1, 18)</sup>

이 연구에서 사용된 Re-188-황 교질/리피오돌은 Re-188-황 교질에 리피오돌을 섞으므로 간편하게 높은 순도로 얻어질 수 있다. 이러한 과정에 의하여 만들어진 Re-188-황 교질/리피오돌의 색전형성제제로서의 가능성을 보기 위하여 마우스의 꼬리정맥으로 주사하였을 때, 1 시간에 폐에서의 섭취량(% ID/organ)은 Re-188-황 교질을 투여하였을 때 폐에서의 섭취량(% ID/organ)보다 2.4 배나 많은 양이 섭취되는 것을 관찰할 수 있었고, 주사 후 24 시간에도 많은 양의 섭취정도가 유지되는 것을 관찰할 수 있었다(Fig. 2). 이러한 결과는 Re-188-황 교질/리피오돌이 색전형성제제로서의 가능성이 있음을 보여준다고 할 수 있다. 일반적으로 리피오돌이 간암에 섭취되는 기전은 다음과 같이 설명할 수 있다. 간세포는 혈류량의 대부분을 간동맥으로부터 공급받고, 정상간세포는 문맥으로부터 대부분의 혈류를 공급받는다. 따라서 간동맥으로 리피오돌을 주사하였을 때 정상간보다 간암 부위에 더 많은 양의 리피오돌이 섭취된다. 그리고 간암으로 흘러들어가는 혈류의 속도가 정상간혈관보다 느리며 간암의 신생혈관들이 굴곡이 심하고 불규칙할뿐더러 신생혈관 내에는 근육층과 탄력막이 적기 때문에 더욱 리피오돌이 미세혈관에서 막히게 된다. 또한 중요한 인자로서 설명될 수 있는 것은 간암에는 Kupffer cell과 임파선들이 파괴되어 있어서 간암내에서만 선택적으로 리피오돌이 오래 남아있게 되는 것이다. 이러한 가설들로 간암 조직에서의 높은 리피오돌의 섭취와 정상간에서의 빠른 배설을 설명할 수 있다.

일반적으로 혈류는 심장의 좌심실에서 대동맥을 거쳐서 여러 가지 동맥중의 하나인 간동맥에 이르게 된다. 그래서 간동맥을 통해서 간암부위와 정상간조직에 공급된다. 그래서 우리는 간암 백서에서 심장의 좌심실로 Re-188-황 교질/리피오돌을 주사하였다. 주사 후 간암조직이 정상간보다 높은 섭취를 보였다(Table 1). 만약에 간동맥으로 Re-188-황 교질/리피오돌을 주사하게 된다면 보다 많은 양이 간암에 섭취될 것으로 기대할 수 있다. 백서의 간동맥 투여는 기술적으로 어려워 이 실험에서는 시행하지 않았다.

간암부위가 있는 간의 자가방사사진에서 간암조직이 정상간 조직보다 높은 섭취를 단면적으로 확인할 수 있었다. 간암부위가 정상간 조직보다 단위면적당 농도가 10 배 가량 높은 것을 관찰할 수 있었다(Fig. 3, Table 2).

Re-188-황 교질/리피오돌을 동맥으로 투여시 간암부위의 섭취가 정상적인 간 조직 보다 많아 간암치료용 방사성의약품으로서 가능성이 있다. 그러나 Re-188-HDD/리피오돌을 투여하였을 때 보다 암 조직에 축적이 균일하지는 못했다.<sup>18)</sup>

## 요약

**목적:** 리피오돌은 간암환자의 간동맥으로 투여시 암에 많이 섭취된다. 이 연구에서는 Re-188-황 교질/리피오돌을 제조하여 생체내분포를 보았다. **재료 및 방법:** Re-188-황 교질/리피오돌을 마우스의 꼬리정맥으로 주사한 후 1 시간 후에 생체내 분포를 확인하였다. 간암을 유발시킨 백서의 좌심실로 Re-188-황 교질/리피오돌을 주사하고 5 분후의 생체내 분포와 간의 자가방사사진을 보았다. **결과:** Re-188-황 교질/리피오돌을 마우스의 꼬리정맥으로 주사한 후 1시간(n=3)섭취율(% ID/organ)은 간에서  $5.2 \pm 0.7$ , 폐는  $91.0 \pm 1.7$ 이었다. 간암을 유발시킨 백서의 좌심실로 Re-188-황 교질/리피오돌을 주사한 후 5 분(n=4)의 정상간의 섭취율(% ID/g)은  $0.41 \pm 0.28$ , 간암은  $1.88 \pm 1.57$ , 폐는  $1.65 \pm 1.54$ 였으며, 자가방사사진에서도 간암부위의 섭취가 정상적인 간조직 보다 증가되었다. **결론:** Re-188-황 교질/리피오돌을 동맥으로 투여시 간암부위의 섭취가 정상적인 간조직보다 많아 간암치료용 방사성의약품으로서 사용할 수 있음을 알았다.

## 참고문헌

- 1) Jeong JM, Kim YJ, Lee YS, Ko JI, Son M, Lee DS, et al. Lipiodol solution of a lipiodol agent, <sup>188</sup>Re-TDD, for the treatment of liver cancer. *Nucl Med Biol* 2001;28: 197-204.
- 2) Wang S-J, Lin W-Y, Chen M-N, Hsieh B-T, Shen

- L-H, Tsai Z-T, et al. Biodistribution of rhenium-188 lipiodol infused via the hepatic artery of rats with hepatic tumours. *Eur J Nucl Med* 1996;23: 13-7.
- 3) Lencioni R, Vignali C, Caramella D, Cioni R, Mazzeo S, Bartolozzi C. Transcatheter arterial embolization followed by percutaneous ethanol injection in the treatment of hepatocellular carcinoma. *Cardiovasc Intervent Radiol* 1994;17: 70-5
  - 4) Trinchet J-C, Rached AA, Beaugrand M, Mathieu D, Cheveret S, Chastang C. A comparison of lipiodol chemoembolization and conservative treatment for unresectable hepatocellular carcinoma. *New Engl J Med* 1995;332: 1256-61.
  - 5) Nakamura H, Hashimoto T, Oi H, Sawada S. Transcatheter oily chemoembolization of hepatocellular carcinoma. *Radiology* 1989;170: 783-6.
  - 6) Madsen MT, Park CH, Takur ML. Dosimetry of iodine-131 ethiodol in the treatment of hepatoma, *J Nucl Med* 1988;29: 1038-44.
  - 7) Nakajo M, Kobayashi H, Shimabukuro K, Shirono K, Sakata H, Taguchi M, et al. Biodistribution and in vivo kinetics of iodine-131 lipiodol infused via the hepatic artery of patients with hepatic cancer. *J Nucl Med* 1988;29: 1066-77.
  - 8) Park CH, Suh JH, Yoo HS. Evaluation of intrahepatic I-131 ethiodol on a patient with hepatocellular carcinoma. *Clin Nucl Med* 1986;11: 514-7.
  - 9) Park CH, Yoo HS, Lee JT, Kim DI. Iodine-131-labeled lipiodol retention within hepatic cavernous hemangioma. *Radiology* 1987;163: 283-4.
  - 10) Yoo HS, Suh JH, Lee JT, Kim DI, Park CY, Kim BS, et al. Therapeutic feasibility study and clinical trial of intrahepatic I-131-lipiodol on patients with hepatocellular carcinoma. *Korean J Nucl Med* 1986;20: 61-71.
  - 11) Chen MN, Wang SJ, Kao CH, Tsai ZT. A column method for lipiodol labeling with yttrium-90 [abstract]. *J Nucl Med* 1994;35: 241p.
  - 12) Wang S-J, Lin W-Y, Chen M-N, Shen L-H, Tsai Z-T, Ting G. Preparation and biodistribution of yttrium-90 lipiodol in rats following hepatic arterial injection. *Eur J Nucl Med* 1995;22: 233-6.
  - 13) Wang S-J, Lin W-Y, Chen M-N, Hsieh B-T, Shen L-H, Tsai Z-T, et al. Radiolabeling of lipiodol with generator-produced <sup>188</sup>Re for hepatic tumor therapy. *Appl Radiat Isot* 1996;47: 267-71.
  - 14) Kim YJ, Jeong JM, Chang YS, Lee YJ, Lee DS, Chung J-K, et al. Preparation and biodistribution of Re-188 sulfur colloid, *Korean J Nucl Med* 1998;32: 298-304.
  - 15) Venkatesan PP, Shorkroff S, Zalutsky MR, Sledge CB. Rhenium heptasulfide: a potential carrier system for radiation synovectomy. *Nucl Med Biol* 1990;17: 357-62.
  - 16) Wang S-J, Lin W-Y, Hsieh B-T, Shen L-H, Tsai Z-T, Ting G, et al. Rhenium-188 sulphur colloid as a radiation synovectomy agent. *Eur J Nucl Med* 1995;22: 505-7.
  - 17) Yu J, Hafeli UO, Sands M, Dong Y. <sup>90</sup>Y-oxine-ethiodol, a potential radiopharmaceutical for the treatment of liver cancer. *Appl Radiat Isot* 2003;58: 567-73.
  - 18) Lee Y-S, Jeong JM, Kim YJ, Chung JW, Park JH, Suh Y-G, et al. Synthesis of <sup>188</sup>Re-labelled long chain alkyl diaminedithiol for therapy of liver cancer. *Nucl Med Commun* 2002;23: 237-42.